

I-8 選点法による二次元応力解析の一研究

九州大学工学部 正員 ○後藤恵之輔
　　学生員 村里正彦

1. 序言

有孔板の応力集中問題の解法には、[1]有限要素法や差分法のようにナッシュに分割する方法、[2]境界条件を有限個の点において満足させる選点法、および[3]複素変数法に代表される解析解法があげられる。しかし、各手法にはその特長がある。すなはち、[1]、[2]の解法は対象物全体の挙動を把握するのに便利であるが、局所的な応力集中に対して高精度の解を求めるには、ナッシュを細かくしたる選点を多くしたりせねばならず、膨大な量の計算が必要で高価なものとなる。一方、[3]の方法は応力集中に対して厳密解を与えるが、対象物および荷重状態とともに簡単な場合にしか有効でない。また、[3]は応力の減衰性の成立しない所で他の境界が存在する、いわゆる干渉の問題も取扱うことは必ずしも得意としない。これに対して、[1]は逆に無限遠方という境界条件を入れることができる代りに、上記の干渉問題を容易に取扱う¹⁾。したがって、無限板として取扱い得ない大きさの単一孔をもつ有限板や複数の孔を有する板(無限板、有限板ともわかる)を精度良く解くには、[1]あるいは[2]の解法と[3]の方法とを併用することが考えられる。[1]のうちの有限要素法と[3]の解析解法とを組合せたものとしては山本らの研究²⁾があり、[2]の選点法と[3]の複素変数法とを結びつけたものには著者の一人の研究³⁾⁴⁾がある。

本論は、前報に引き続き、選点法と複素変数法との併用による有孔板の解法を述べるもので、基本式のチェックの意味で1円孔をもつ正方形板の応力集中を取扱い、構造単位^(注1)の考え方を確認する目的で片持ばかり(孔なし)の解析を行なうとともに、最小自乗法の適用についても触れている。

2. 円孔をもつ正方形板の応力集中

2.1 応力型境界値問題

境界条件として応力が与えられる、いわゆる応力型境界値問題を図-1の荷重状態のもとに解けば、表-1の孔縁応力(σ_c)が求められる。選点は4分の1領域の1辺に5点を採った。表中、 $M = d/c$ は孔の大きさを意味し、()内の数値は Schück-Littleによる解⁵⁾で、5点法でも十分な精度がえられることがわかる^(注2)。

2.2 混合境界値問題

図-2に示すとく、両端を強固な治具に密接された有孔正方形板を引張る場合、荷重辺($x=\pm c$)におけるX方向変位ひずみとY方向変位ひずみを考えられ、他辺において円孔縁では応力自由の状態にある。このような混合境界値問題に関しては余り研究がなされておらず、わずかに古誠らの報告⁶⁾が見受けられるにすぎないようである。そこで本問題を選点法により解いてみた。

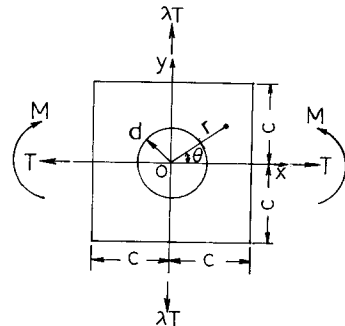


図-1

境界条件が変位で与えられるとき、境界条件に満足する連立方程式を解いて直接求められる応力および変位は真の値を表わしていない。そこで換算の必要があるが、

これは次のように行なえばよい。連立方程式を解いて求められる応力、変位を添字 \ast をつけて表わすとして、 $x = \pm c$ 上に採った $2(m+1)$ 個の点の応力 σ_x^* を数値積分すれば、 $x = \pm c$ における真の応力 σ_x の総和が P/t に等しいことから次式をもつ。

$$\int_c^c \sigma_x dy = A \cdot c \sum_{j=1}^{2(m+1)} f_j (\sigma_x^*)_j = P/t \quad (1)$$

ここで f_j : 重み、 A : 換算係数

これより換算係数 A が決定され、真の応力および変位は次式で求められることとなる。

$$\sigma_x = A \sigma_x^*, \sigma_y = A \sigma_y^*, \tau_{xy} = A \tau_{xy}^*, U = A \cdot U^*, U = A \cdot U^* \quad (2)$$

他の座標に関する応力、変位も同様である。

最小断面($x=0$)における応力 σ_x も、応力型境界条件の解とともに図-3に示す。図-4は荷重辺上のひずみ分布である。孔が小さければ、荷重辺のひずみは

等分布に近く、最小断面のひずみも応力型の場合とほとんど同値であるが、孔が大きくなるに伴ない、荷重辺のひずみは等分布とからず、最小断面の応力は応力型の場合より著しく低下する。

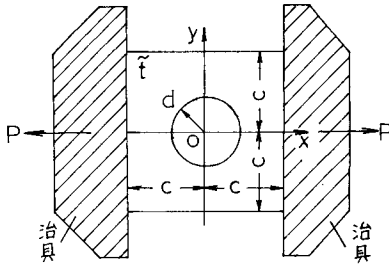


図-2

表-1



(a) 一方向引張、他方向圧縮

θ°	σ_t/T			
	$\mu=0.1$	$\mu=0.3$	$\mu=0.5$	$\mu=0.7$
0	-4.1535 (-4.151)	-5.5977 (-5.589)	-10.332 (-10.16)	-29.212 (-29.84)
10	-3.9030 (-3.900)	-5.2557 (-5.248)	-9.5923 (-9.452)	-25.956 (-26.56)
20	-3.1818 (-3.180)	-4.2755 (-4.271)	-7.5829 (-7.513)	-18.249 (-18.79)
30	-2.0767 (-2.075)	-2.7839 (-2.782)	-4.7789 (-4.761)	-9.9388 (-10.36)
40	-0.7212	-0.9653	-1.6221	-3.0359
45	0 (0)	0 (0)	0 (0)	0 (0)



(b) 一方向引張

θ°	σ_t/T			
	$\mu=0.1$	$\mu=0.3$	$\mu=0.5$	$\mu=0.7$
0	-1.0678	-1.7223	-3.9606	-13.193
10	-0.9426	-1.5486	-3.5696	-11.443
20	-0.5818	-1.0517	-2.5135	-7.3294
30	-0.0292	-0.2983	-1.0559	-2.9593
40	0.6486	0.6159	0.5571	0.5888
45	1.0092	1.0993	1.3727	2.1174
50	1.3698	1.5813	2.1791	3.6246
60	2.0475	2.4856	3.7229	6.9795
70	2.5999	3.2237	5.0694	10.9197
80	2.9605	3.7071	6.0226	14.5126
90	3.0857 (3.085)	3.8754 (3.871)	6.3717 (6.283)	16.0189 (16.34)



(c) 二方向引張

θ°	σ_t/T			
	$\mu=0.1$	$\mu=0.3$	$\mu=0.5$	$\mu=0.7$
0	2.0178 (2.018)	2.1531 (2.152)	2.4111 (2.408)	2.8255 (2.839)
10	2.0179 (2.018)	2.1585 (2.158)	2.4530 (2.450)	3.0697 (3.078)
20	2.0181 (2.018)	2.1720 (2.172)	2.5559 (2.555)	3.5903 (3.595)
30	2.0183 (2.018)	2.1873 (2.187)	2.6670 (2.667)	4.0202 (4.027)
40	2.0184	2.1972	2.7362	4.2134
45	2.0184 (2.019)	2.1986 (2.220)	2.7455 (2.746)	4.2348 (4.240)

3. 片持ばかりの解法

図-5(a)に示すごとく自由端に集中荷重を受ける片持ばかりを4節の構造単位に分割し(図(b)),前報の考え方を導入して解法を行なった。^(注3)

各構造単位において4分の1領域の1辺に5点の選点を採り,応力関数の未知係数に関する160元連立方程式を解いてこれられた結果を図-6,7に示す。図-6は応力 σ_x と y/c の分布を表わし,図中 ΔEI は通常のはり理論よりえられた値で,本法の解と良く一致している。図-7は変位 U , W を示すもので,自由端の変位 W もはり理論と比較すれば次のとくなり,せん断变形を考慮したはり理論と良い一致が見られる。

$$\text{本法: } -0.128 \times 10^3 P/l \times 2.1 \times 10^6 / E = -0.269 \times 10^3 P/Et$$

はり理論(曲げ変形のみ):

$$-P l^3 / 3EI = -0.256 \times 10^3 P/Et$$

はり理論(せん断变形を考慮):

$$-P l^3 / 3EI \cdot \{1 + 0.75(2c/l)^2\} = -0.268 \times 10^3 P/Et$$

4. 最小自乗法の適用について

選点法の精度は選点の数と位置とに關係し,一般に,選点の数が多いほど,精度は良いとされている。しかし,この關係は問題にもより,場合によっては選点数が多くなったために逆に精度が悪くなることもある。これは,応力関数をべき級数で仮定するゆえ,選点数が増せば非常に高次の項が求められ,連立方程式のエレメントに着しいorder差が生じるからであると思われる。そこで,応力関数の項数を一定にしておいて,選点の数を増し,未知数でよし応力関数の係数よりも多くの条件式を最小自乗法で解くことが考えられる。

いま, N 個の応力関数の未知係数に対する M 個の条件式($M > N$)を次式のごとくマトリックス表示する。

$$A_{MN} \times_N = R_M \quad (3)$$

ここで \times_N : 未知数に関する N -fold のベクトル

R_M : 条件式の右辺に対する M -fold のベクトル

A_{MN} : 条件式の左辺に対する $M \times N$ の係数マトリックス

最小自乗法は, 次式で与えられた残差 $\|M\|_M$ の自乗を最小にする解 \times_N^* を求ることである。

$$\|M\|_M = \|A_{MN} \times_N^* - R_M\| \quad (4)$$

式(4)を平方して \times_N^* で偏微分し零とおけば, 次式がえられる。

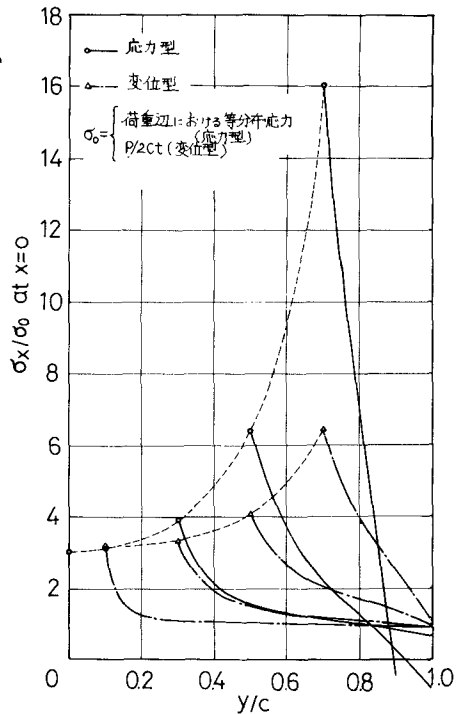


図-3

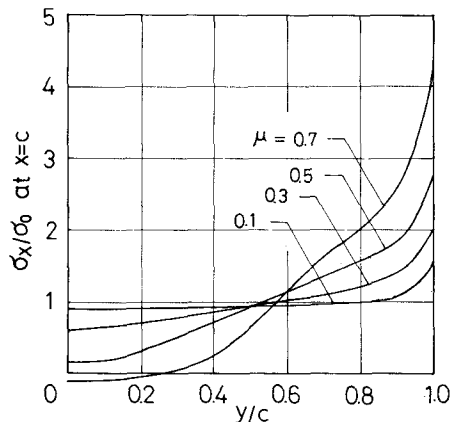


図-4

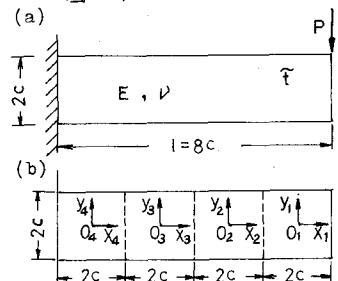


図-5

$$A_{NM}^T A_{MN} X_N = A_{NM}^T R_M \quad (5)$$

式(5)は N 元の正規方程式で、これを解くことにより、所要の未知数 X_N が求められる。

この選点法と結びつけられた最小自乗法は、選点最小自乗法の名で、Hilbert により複数孔、孔をもつ無限板および円柱の解析に適用され、Lessa はより複合材料の解析に用いられて、顕著な成果を収めてゐる。また、著者の一人は、本法を板の写像関数の決定に応用して高精度の写像图形をえている。⁷⁾

5. 結び

選点法と複素変数法とも併用する方法では、孔の写像が可能限り、円形の如何と内わず孔の境界条件は厳密に満足されるゆえ、応力変数の係数を決定する条件式は、外縁の境界条件式および隣接構造単位との連続条件式のみである。したがって、本法は、選点法および有限要素法のとよる解法と比較して、未知数も著しく減らすことができる、特に应力集中も高精度に解析しうるなどの大きな利点を有する。選点数が増し条件式が多くなれば、4.で述べた最小自乗法を適用すればよい。

なお、任意形孔を有する正方形板および円形列など複数孔の孔をもつばりの解析につれて講演時に述べ予定である。

最後に、本研究を進めるに当り、親身な御指導をして貰ひた川崎製鉄鋼構造研究所・山崎徳也次長および有益な御助言を賜った本学応用力学研究所・清水茂俊、川建和雄両助教授に厚く謝意を表する。

(注1) 前報では“パネル”といふ用語を用いたが、こゝも“構造単位”に改める。

(注2) 前報4)においては、应力の式に (r/d) の項を含んでいたため精度が余り良くなかったが、本報ではこゝと (d/r) に改めた。

(注3) 前報における連続条件式および固定端の条件式を次式に訂正する。

$$\text{式(21)} : \lambda_1 = \lambda_2 = \text{おひて } (\alpha_x - i\beta_{xy})_1 = (\alpha_x - i\beta_{xy})_2, \quad (U_x + iU_y)_1 = (U_x + iU_y)_2$$

$$\text{式(24)} : \lambda_n = \lambda_3 = \text{おひて } (U_x + iU_y)_n = 0$$

参考文献 1) 宮本 博、精密材料、第35巻、第10号、昭和44年10月、pp. 1-15.

2) 山木善之他、日本鋼構造協会第3回大会研究集会トロイクス構造解析講演論文集、昭和44年5月、pp. 48-60.

3) 山崎徳也・鶴見恵之輔、第25回土木学会年次学術講演会講演論文集要集、昭和45年11月、pp. 219-222.

4) 同上、第17回橋梁・構造工学研究発表会論文集、昭和45年12月、pp. 1-8.

5) A.L. Schlack & R.W. Little, Proc. A.S.C.E., Vol. 90, No. EM5, Oct. 1964, pp. 171-184.

6) 古賀雅夫他、造船協会論文集、第121号、昭和42年6月、pp. 150-156.

7) 佐藤忠之輔：選点最小自乗法による板の写像関数決定法、第21回応用力学連合講演会(昭和46年1月)にて発表予定。

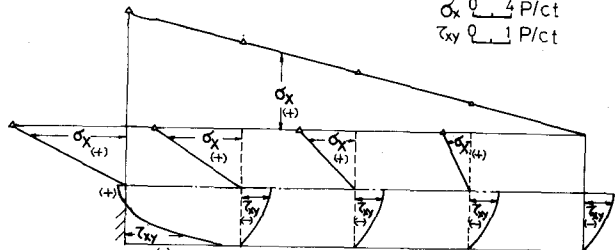


図-6

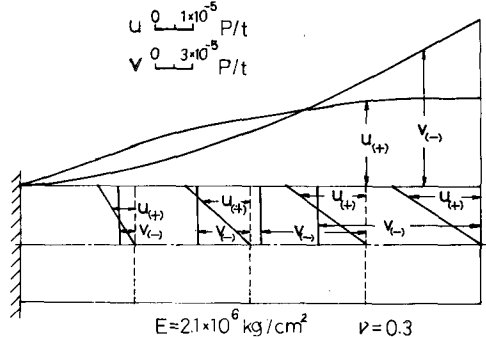


図-7